

Tentti 17.3.2014, kello 16 ... 19, sali S4

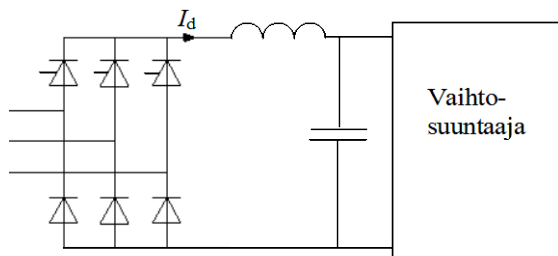
Papereihin

- sukunimi ja etunimet
- opiskelijanumero
- koulutusohjelma.

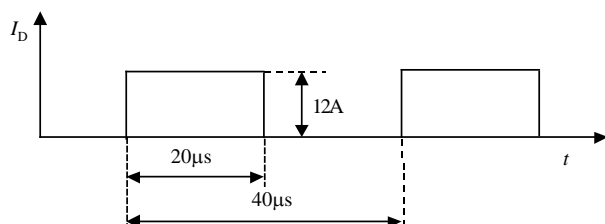
Tentissä sallitut apuvälaineet

- kynät, kumit jne.
- taskulaskin
- lukion kaavakokoelma tms. + Laplace taulut

1. Selvitä lyhyesti (max. 2...4 lausetta + mahdollinen kuva), mitä seuraavilla termeillä tarkoitetaan
 - ioni-istutus
 - tyristorin toipumisaika
 - muutoslämpövästus
 - ESR
 - lähivaikutus.
2. Esittele IGBT:n rakenne, toimintaperiaate ja ominaisuudet.
3. Selvitä, miten verkkotaajuiset ja suurtaajuiset muuntajat eroavat toisistaan. Kuvail se sanallisesti suurtaajuusmuuntajan (esim. 50 kHz, 100 W, 400 V/15 V) suunnittelun vaiheet ja kussakin vaiheessa huomioon otettavat seikat.
4. Kolmea tyristori/diodi -moduulia SKKH 57/16 E G6 (datalehti oheisenä) käytetään allaolevassa kolmivaiheisessa tasasuuntaajasillassa. Mikä on moduulien yhteisen jäähdityselementin lämpövästukseen $R_{th(s-a)}$ oltava, jotta silta kykenisi syöttämään 120 A tasavirran jäähdysilman lämpötilan ollessa 65 °C?



5. Määrää IPP60R199CP -fetin vaatiman jäähdityselementin lämpövästus, kun fetin virta on oheisen kuvan mukainen. Jäähdysilman lämpötila on 45 °C ja $V_{GS} = 10$ V. Fetin yli oleva jännite on pääallekytkennän aikana 360 V ja katkaisun aikana 500 V.





Thyristor / Diode Modules

SKKH 57/16 E G6

Features

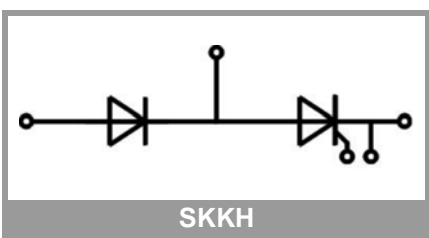
- Heat transfer through aluminium oxide ceramic isolated metal baseplate
- UL recognized, file no. E63532

Typical Applications

- DC motor control (e. g. for machine tools)
- AC motor soft starters
- Temperature control (e. g. for ovens, chemical processes)
- Professional light dimming (studios, theaters)

| Absolute Maximum Ratings | | Values | | Unit | |
|--------------------------|------------------------|------------------------|-------------|------------------------|--|
| Symbol | Conditions | | | | |
| Chip | | | | | |
| $I_{T(AV)}$ | sinus 180° | $T_c = 85 \text{ °C}$ | 61 | A | |
| | | $T_c = 100 \text{ °C}$ | 45 | A | |
| I_{TSM} | 10 ms | $T_j = 25 \text{ °C}$ | 1500 | A | |
| | | $T_j = 130 \text{ °C}$ | 1200 | A | |
| i^2t | 10 ms | $T_j = 25 \text{ °C}$ | 11250 | A^2s | |
| | | $T_j = 130 \text{ °C}$ | 7200 | A^2s | |
| V_{RSM} | | | 1700 | V | |
| V_{RRM} | | | 1600 | V | |
| V_{DRM} | | | 1600 | V | |
| $(di/dt)_{cr}$ | $T_j = 130 \text{ °C}$ | | 140 | $\text{A}/\mu\text{s}$ | |
| $(dv/dt)_{cr}$ | $T_j = 130 \text{ °C}$ | | 1000 | $\text{V}/\mu\text{s}$ | |
| T_j | | | -40 ... 130 | °C | |
| Module | | | | | |
| T_{stg} | | | -40 ... 125 | °C | |
| V_{isol} | a.c.; 50 Hz; r.m.s. | 1 min | 3000 | V | |
| | | 1 s | 3600 | V | |

| Characteristics | | min. | typ. | max. | Unit |
|------------------|---|------------|------|----------|-----------------------|
| Symbol | Conditions | | | | |
| Chip | | | | | |
| V_T | $T_j = 25 \text{ °C}, I_T = 180 \text{ A}$ | | 1.5 | 1.75 | V |
| $V_{T(TO)}$ | $T_j = 130 \text{ °C}$ | | 0.85 | 1 | V |
| r_T | $T_j = 130 \text{ °C}$ | | 4.00 | 4.50 | $\text{m}\Omega$ |
| $I_{DD}; I_{RD}$ | $T_j = 130 \text{ °C}, V_{DD} = V_{DRM}; V_{RD} = V_{RRM}$ | | | 20 | mA |
| t_{gd} | $T_j = 25 \text{ °C}, I_G = 1 \text{ A}, di_G/dt = 1 \text{ A}/\mu\text{s}$ | | 1 | | μs |
| t_{gr} | $V_D = 0.67 * V_{DRM}$ | | 2 | | μs |
| t_q | $T_j = 130 \text{ °C}$ | | 170 | | μs |
| I_H | $T_j = 25 \text{ °C}$ | | 150 | 250 | mA |
| I_L | $T_j = 25 \text{ °C}, R_G = 33 \Omega$ | | 300 | 600 | mA |
| V_{GT} | $T_j = 25 \text{ °C}, \text{d.c.}$ | | 2.5 | | V |
| I_{GT} | $T_j = 25 \text{ °C}, \text{d.c.}$ | | 100 | | mA |
| V_{GD} | $T_j = 130 \text{ °C}, \text{d.c.}$ | | 0.25 | | V |
| I_{GD} | $T_j = 130 \text{ °C}, \text{d.c.}$ | | 4 | | mA |
| $R_{th(j-c)}$ | cont. | per chip | | 0.420 | K/W |
| | | per module | | 0.210 | K/W |
| $R_{th(j-c)}$ | sin. 180° | per chip | | 0.440 | K/W |
| | | per module | | 0.220 | K/W |
| $R_{th(j-c)}$ | rec. 120° | per chip | | 0.460 | K/W |
| | | per module | | 0.230 | K/W |
| Module | | | | | |
| $R_{th(c-s)}$ | chip | | 0.22 | | K/W |
| | module | | 0.11 | | K/W |
| M_s | to heatsink M5 | | 4.25 | 5.75 | Nm |
| M_t | to terminals M5 | | 2.55 | 3.45 | Nm |
| a | | | | 5 * 9,81 | m/s^2 |
| w | | | 75 | | g |



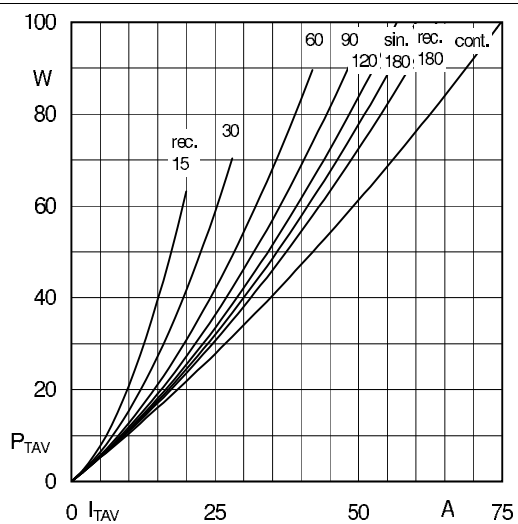


Fig. 1L: Power dissipation per thyristor/diode vs. on-state current

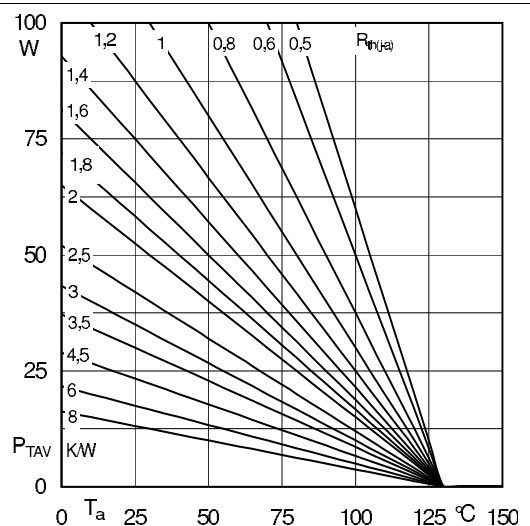


Fig. 1R: Max. power dissipation per chip vs. ambient temperature

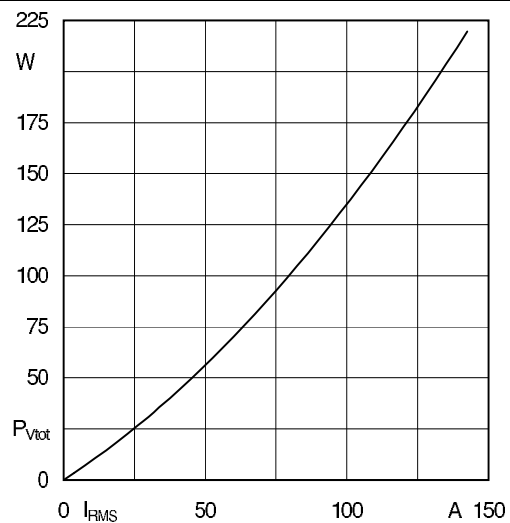


Fig. 2L: Max. power dissipation of one module vs. rms current

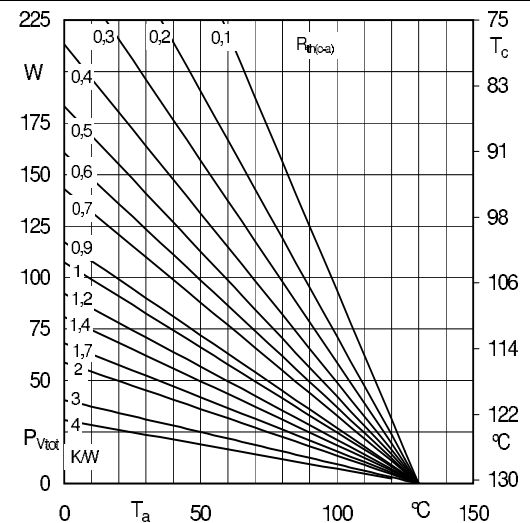


Fig. 2R: Max. power dissipation of one module vs. case temperature

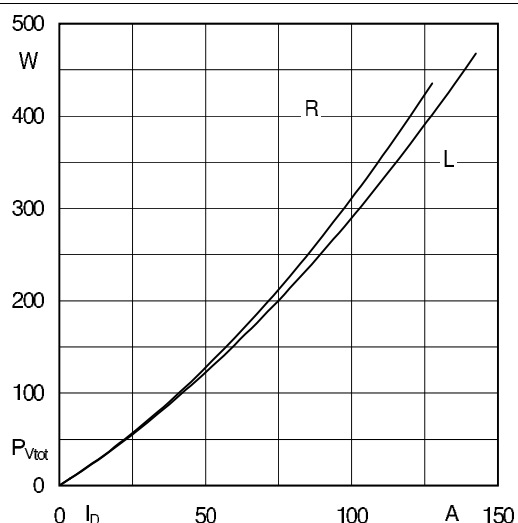


Fig. 3L: Max. power dissipation of two modules vs. direct current

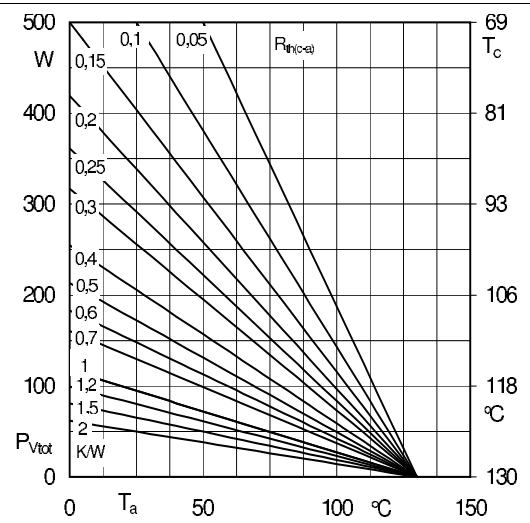


Fig. 3R: Max. power dissipation of two modules vs. case temperature

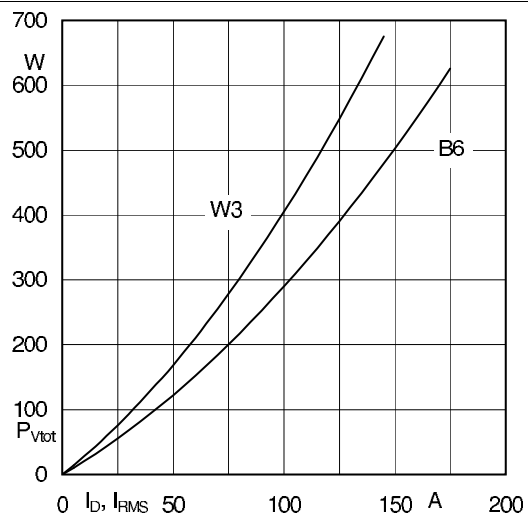


Fig. 4L: Max. power dissipation of three modules vs. direct current

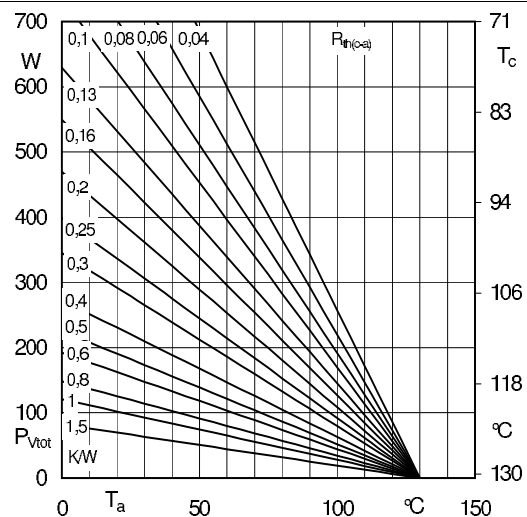


Fig. 4R: Max. power dissipation of three modules vs. case temperature

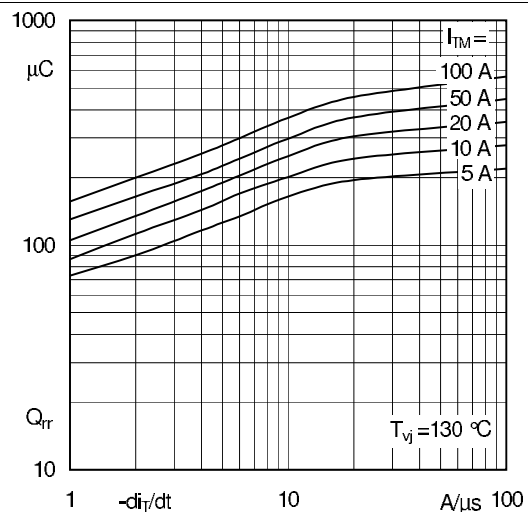


Fig. 5: Recovered charge vs. current decrease

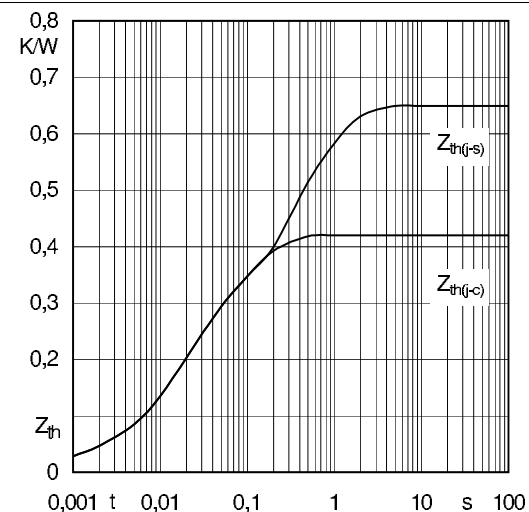


Fig. 6: Transient thermal impedance vs. time

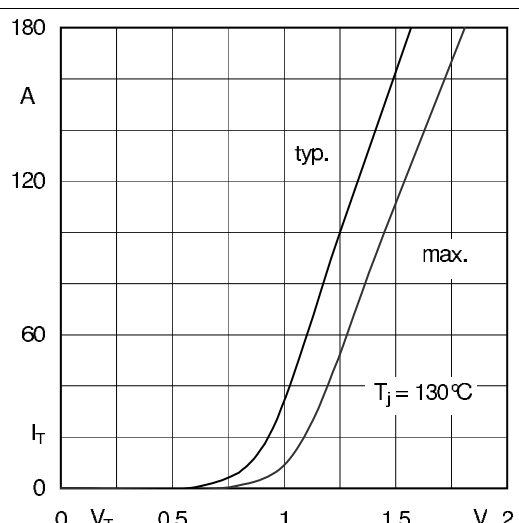


Fig. 7: On-state characteristics

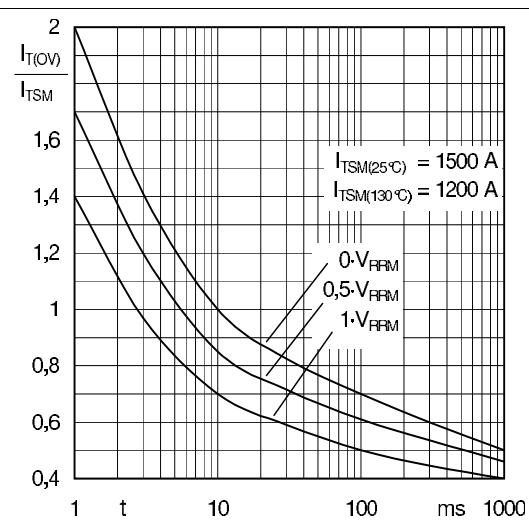


Fig. 8: Surge overload current vs. time

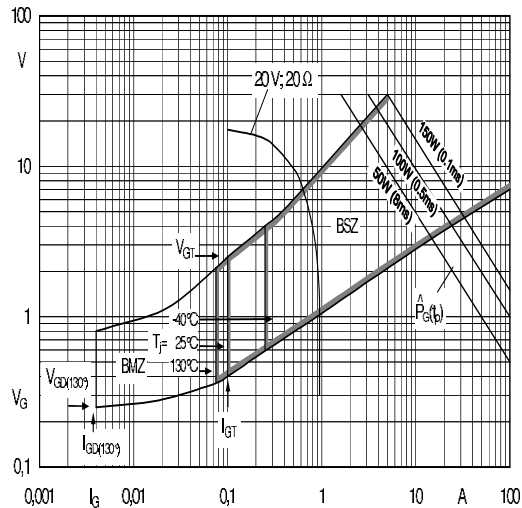
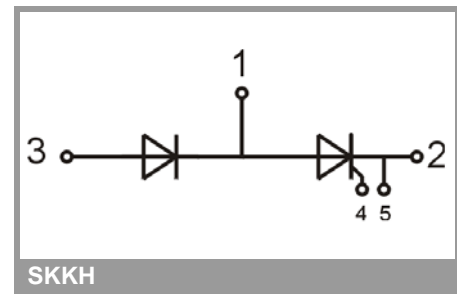
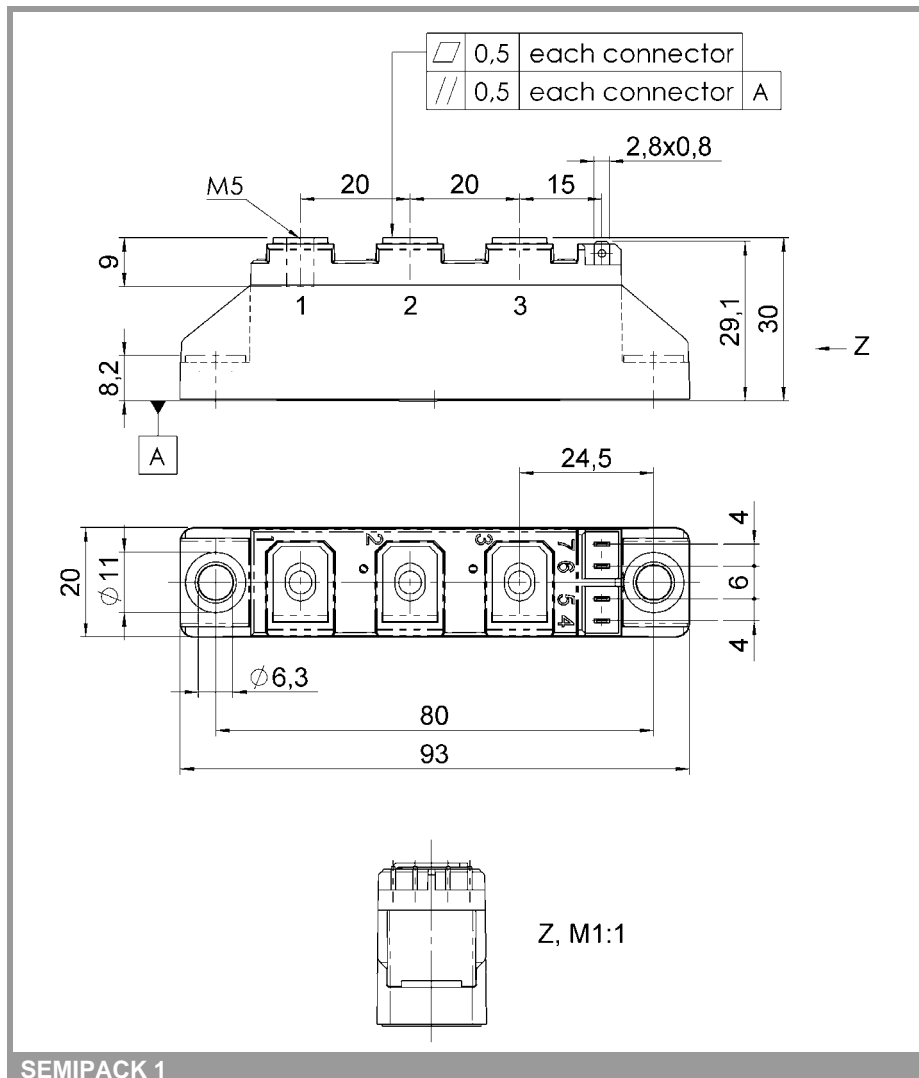


Fig. 9: Gate trigger characteristics



This technical information specifies semiconductor devices but promises no characteristics. No warranty or guarantee expressed or implied is made regarding delivery, performance or suitability.

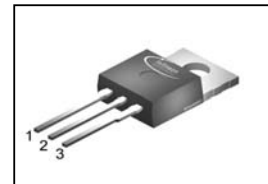
CoolMOS® Power Transistor
Features

- Lowest figure-of-merit $R_{ON} \times Q_g$
- Ultra low gate charge
- Extreme dv/dt rated
- High peak current capability
- Qualified according to JEDEC¹⁾ for target applications
- Pb-free lead plating; RoHS compliant

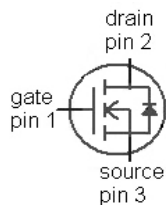
Product Summary

| | | |
|----------------------|-------|----------|
| $V_{DS} @ T_{j,max}$ | 650 | V |
| $R_{DS(on),max}$ | 0.199 | Ω |
| $Q_{g,typ}$ | 32 | nC |

PG-T0220


CoolMOS CP is specially designed for:

- Hard switching topologies, for Server and Telecom



| Type | Package | Ordering Code | Marking |
|-------------|----------|---------------|---------|
| IPP60R199CP | PG-T0220 | SP000084278 | 6R199P |

Maximum ratings, at $T_j=25^\circ\text{C}$, unless otherwise specified

| Parameter | Symbol | Conditions | Value | Unit |
|---|----------------|--|-------------|------|
| Continuous drain current | I_D | $T_C=25^\circ\text{C}$ | 16 | A |
| | | $T_C=100^\circ\text{C}$ | 10 | |
| Pulsed drain current ²⁾ | $I_{D,pulse}$ | $T_C=25^\circ\text{C}$ | 51 | |
| Avalanche energy, single pulse | E_{AS} | $I_D=6.6\text{ A}, V_{DD}=50\text{ V}$ | 436 | mJ |
| Avalanche energy, repetitive $t_{AR}^{2,3)}$ | E_{AR} | $I_D=6.6\text{ A}, V_{DD}=50\text{ V}$ | 0.66 | |
| Avalanche current, repetitive $t_{AR}^{2,3)}$ | I_{AR} | | 6.6 | A |
| MOSFET dv/dt ruggedness | dv/dt | $V_{DS}=0\ldots480\text{ V}$ | 50 | V/ns |
| Gate source voltage | V_{GS} | static | ± 20 | V |
| | | AC ($f>1\text{ Hz}$) | ± 30 | |
| Power dissipation | P_{tot} | $T_C=25^\circ\text{C}$ | 139 | W |
| Operating and storage temperature | T_j, T_{stg} | | -55 ... 150 | °C |
| Mounting torque | | M3 and M3.5 screws | 60 | Ncm |

Maximum ratings, at $T_j=25\text{ }^\circ\text{C}$, unless otherwise specified

| Parameter | Symbol | Conditions | Value | | Unit |
|-----------------------------------|---------------|--------------------------------|-------|----|------|
| Continuous diode forward current | I_S | $T_C=25\text{ }^\circ\text{C}$ | 9.9 | - | A |
| Diode pulse current ²⁾ | $I_{S,pulse}$ | | 51 | - | |
| Reverse diode dv/dt ⁴⁾ | dv/dt | | | 15 | V/ns |

| Parameter | Symbol | Conditions | Values | | | Unit |
|-----------|--------|------------|--------|------|------|------|
| | | | min. | typ. | max. | |

Thermal characteristics

| | | | | | | |
|---|------------|--|---|---|-----|-----|
| Thermal resistance, junction - case | R_{thJC} | | - | - | 0.9 | K/W |
| Thermal resistance, junction - ambient | R_{thJA} | leaded | - | - | 62 | |
| Soldering temperature, wavesoldering only allowed at leads | T_{sold} | 1.6 mm (0.063 in.) from case for 10 s | - | - | 260 | °C |

Electrical characteristics, at $T_j=25\text{ }^\circ\text{C}$, unless otherwise specified

Static characteristics

| | | | | | | |
|----------------------------------|---------------|--|-----|------|-------|----|
| Drain-source breakdown voltage | $V_{(BR)DSS}$ | $V_{GS}=0\text{ V}, I_D=250\text{ }\mu\text{A}$ | 600 | - | - | V |
| Gate threshold voltage | $V_{GS(th)}$ | $V_{DS}=V_{GS}, I_D=0.66\text{ mA}$ | 2.5 | 3 | 3.5 | |
| Zero gate voltage drain current | I_{DSS} | $V_{DS}=600\text{ V}, V_{GS}=0\text{ V},$ $T_j=25\text{ }^\circ\text{C}$ | - | - | 1 | μA |
| | | $V_{DS}=600\text{ V}, V_{GS}=0\text{ V},$ $T_j=150\text{ }^\circ\text{C}$ | - | 10 | - | |
| Gate-source leakage current | I_{GSS} | $V_{GS}=20\text{ V}, V_{DS}=0\text{ V}$ | - | - | 100 | nA |
| Drain-source on-state resistance | $R_{DS(on)}$ | $V_{GS}=10\text{ V}, I_D=9.9\text{ A},$ $T_j=25\text{ }^\circ\text{C}$ | - | 0.18 | 0.199 | Ω |
| | | $V_{GS}=10\text{ V}, I_D=9.9\text{ A},$ $T_j=150\text{ }^\circ\text{C}$ | - | 0.49 | - | |
| Gate resistance | R_G | $f=1\text{ MHz, open drain}$ | - | 2 | - | Ω |

| Parameter | Symbol | Conditions | Values | | | Unit |
|-----------|--------|------------|--------|------|------|------|
| | | | min. | typ. | max. | |

Dynamic characteristics

| | | | | | | |
|--|--------------|--|---|------|---|----|
| Input capacitance | C_{iss} | $V_{GS}=0 \text{ V}, V_{DS}=100 \text{ V}, f=1 \text{ MHz}$ | - | 1520 | - | pF |
| Output capacitance | C_{oss} | | - | 72 | - | |
| Effective output capacitance, energy related ⁵⁾ | $C_{o(er)}$ | $V_{GS}=0 \text{ V}, V_{DS}=0 \text{ V}$ to 480 V | - | 69 | - | |
| Effective output capacitance, time related ⁶⁾ | $C_{o(tr)}$ | | - | 180 | - | |
| Turn-on delay time | $t_{d(on)}$ | $V_{DD}=400 \text{ V}, V_{GS}=10 \text{ V}, I_D=9.9 \text{ A}, R_G=3.3 \Omega$ | - | 10 | - | ns |
| Rise time | t_r | | - | 5 | - | |
| Turn-off delay time | $t_{d(off)}$ | | - | 50 | - | |
| Fall time | t_f | | - | 5 | - | |

Gate Charge Characteristics

| | | | | | | |
|-----------------------|---------------|--|---|-----|----|----|
| Gate to source charge | Q_{gs} | $V_{DD}=400 \text{ V}, I_D=9.9 \text{ A}, V_{GS}=0 \text{ to } 10 \text{ V}$ | - | 8 | - | nC |
| Gate to drain charge | Q_{gd} | | - | 11 | - | |
| Gate charge total | Q_g | | - | 32 | 43 | |
| Gate plateau voltage | $V_{plateau}$ | | - | 5.0 | - | |

Reverse Diode

| | | | | | | |
|-------------------------------|----------|--|---|-----|-----|---------------|
| Diode forward voltage | V_{SD} | $V_{GS}=0 \text{ V}, I_F=9.9 \text{ A}, T_j=25 \text{ }^\circ\text{C}$ | - | 0.9 | 1.2 | V |
| Reverse recovery time | t_{rr} | $V_R=400 \text{ V}, I_F=I_S, di_F/dt=100 \text{ A}/\mu\text{s}$ | - | 340 | - | ns |
| Reverse recovery charge | Q_{rr} | | - | 5.5 | - | μC |
| Peak reverse recovery current | I_{rm} | | - | 33 | - | A |

¹⁾ J-STD20 and JESD22

²⁾ Pulse width t_p limited by $T_{j,max}$
³⁾ Repetitive avalanche causes additional power losses that can be calculated as $P_{AV}=E_{AR} \cdot f$.

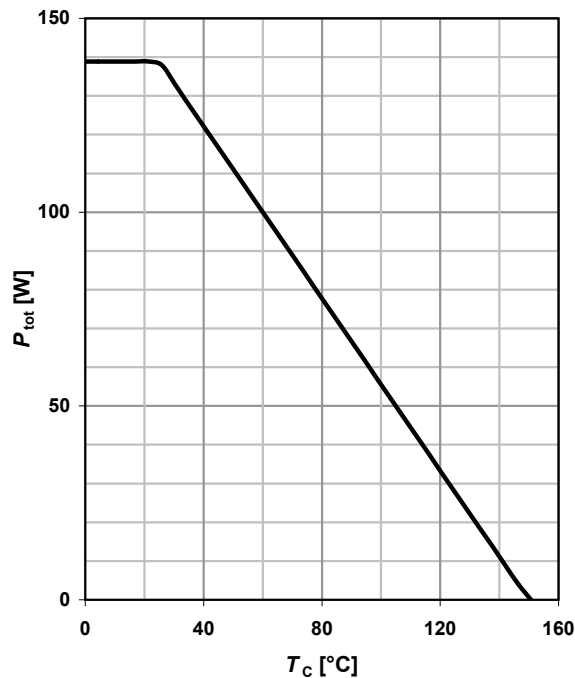
⁴⁾ $I_{SD} \leq I_D$, $di/dt \leq 200 \text{ A}/\mu\text{s}$, $V_{DClink}=400 \text{ V}$, $V_{peak} < V_{(BR)DSS}$, $T_j < T_{j,max}$, identical low side and high side switch.

⁵⁾ $C_{o(er)}$ is a fixed capacitance that gives the same stored energy as C_{oss} while V_{DS} is rising from 0 to 80% V_{DSS} .

⁶⁾ $C_{o(tr)}$ is a fixed capacitance that gives the same charging time as C_{oss} while V_{DS} is rising from 0 to 80% V_{DSS} .

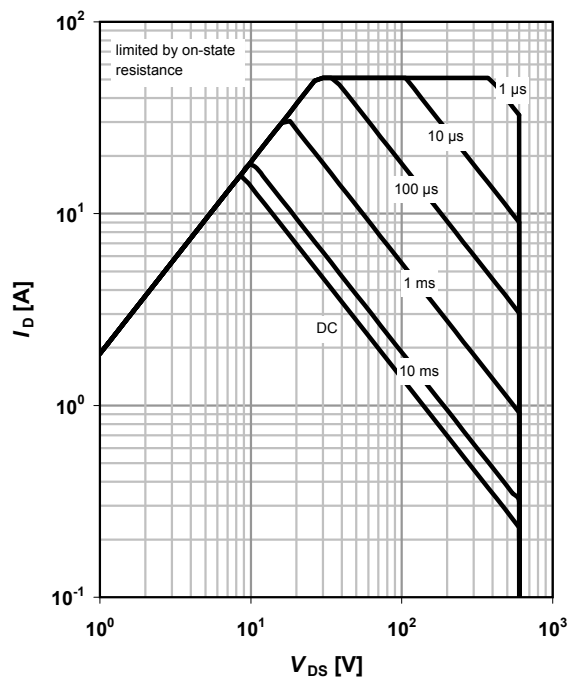
1 Power dissipation

$$P_{\text{tot}} = f(T_c)$$


2 Safe operating area

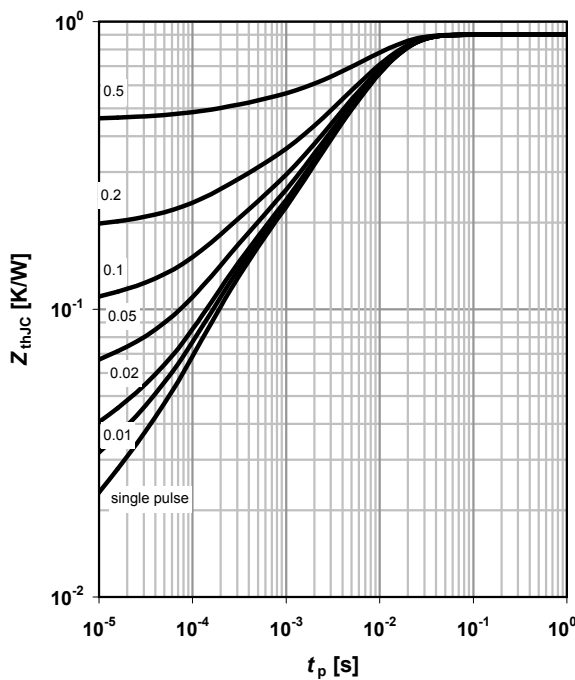
$$I_D = f(V_{DS}); T_c = 25^\circ\text{C}; D = 0$$

parameter: t_p


3 Max. transient thermal impedance

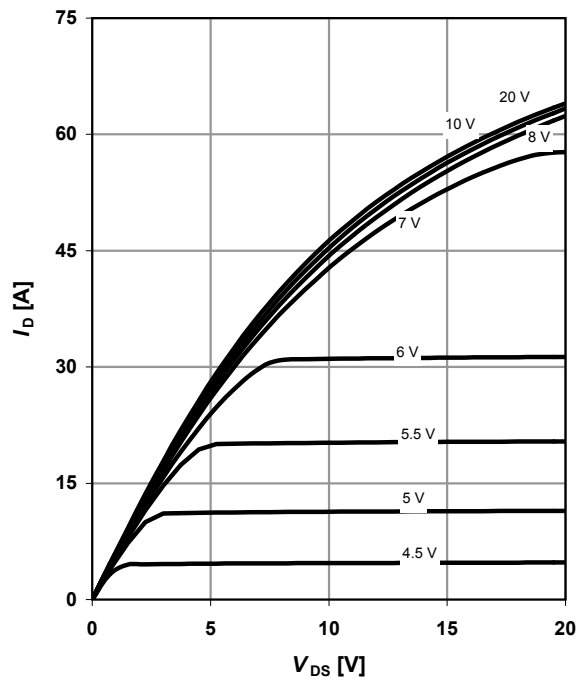
$$Z_{\text{thJC}} = f(t_p)$$

parameter: $D = t_p/T$

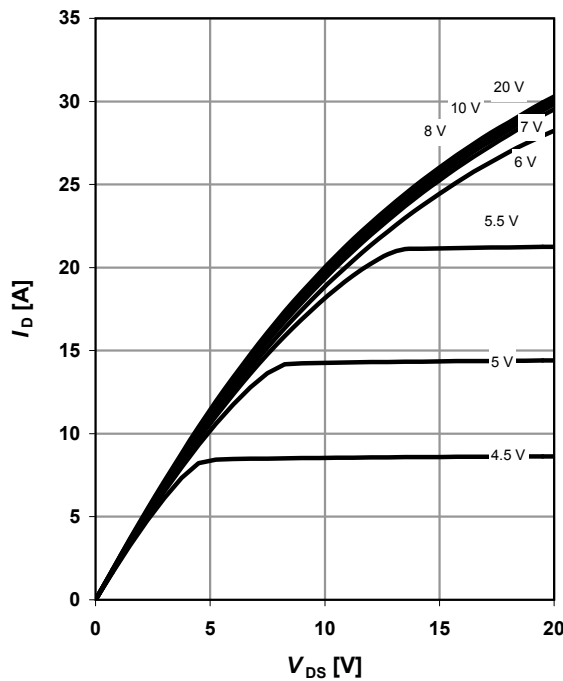

4 Typ. output characteristics

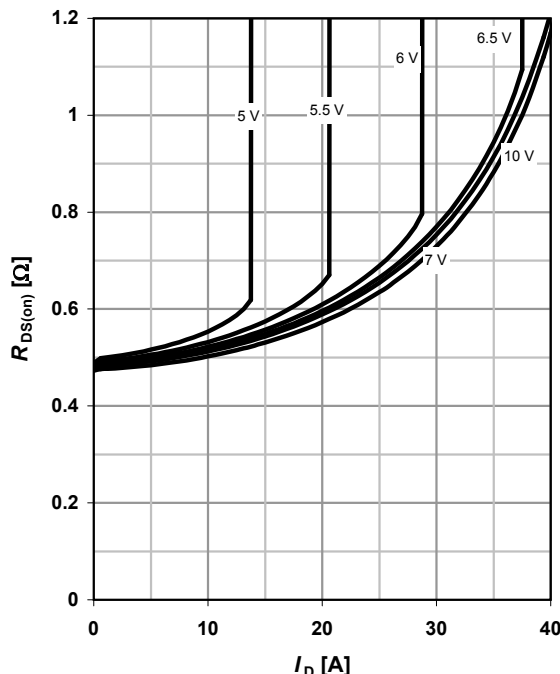
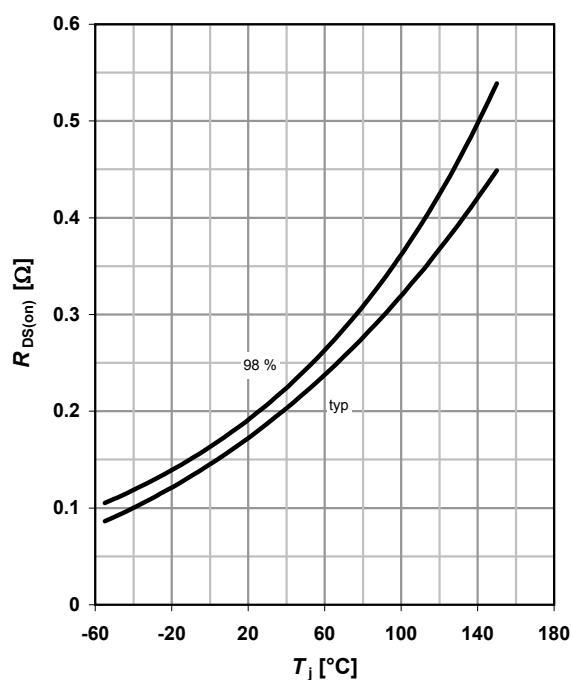
$$I_D = f(V_{DS}); T_j = 25^\circ\text{C}$$

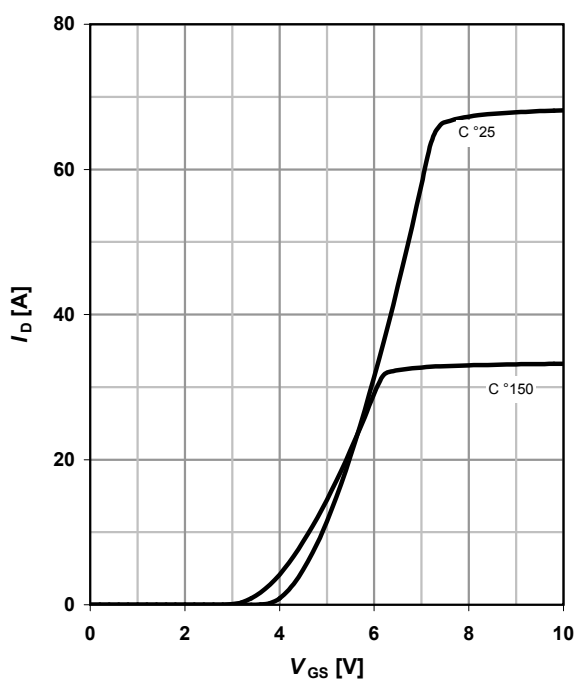
parameter: V_{GS}



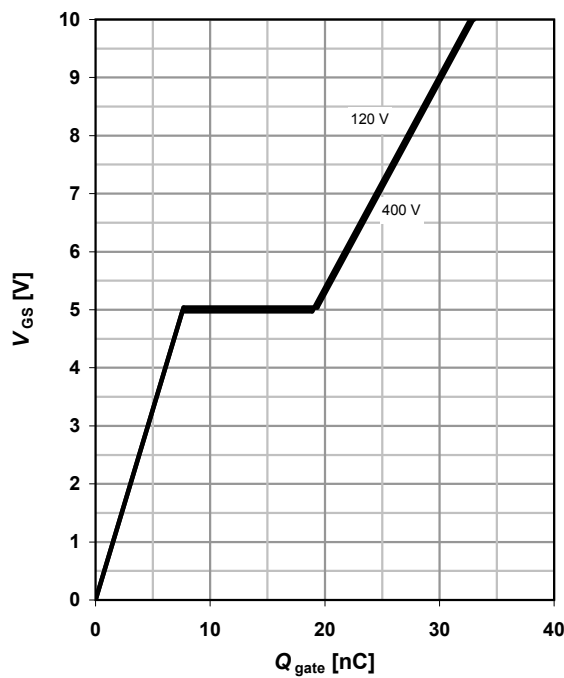
5 Typ. output characteristics
 $I_D = f(V_{DS})$; $T_j = 150 \text{ }^\circ\text{C}$

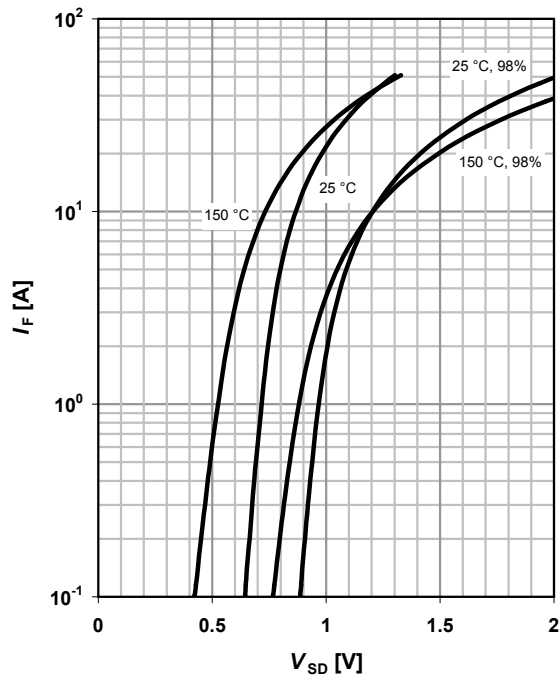
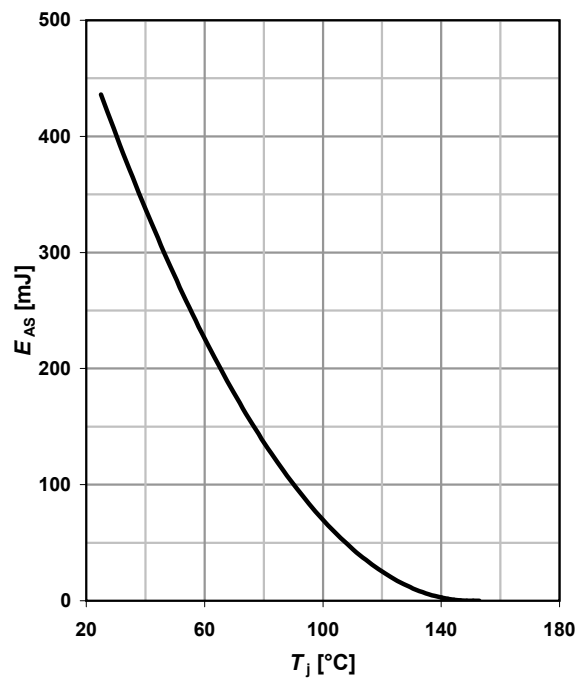
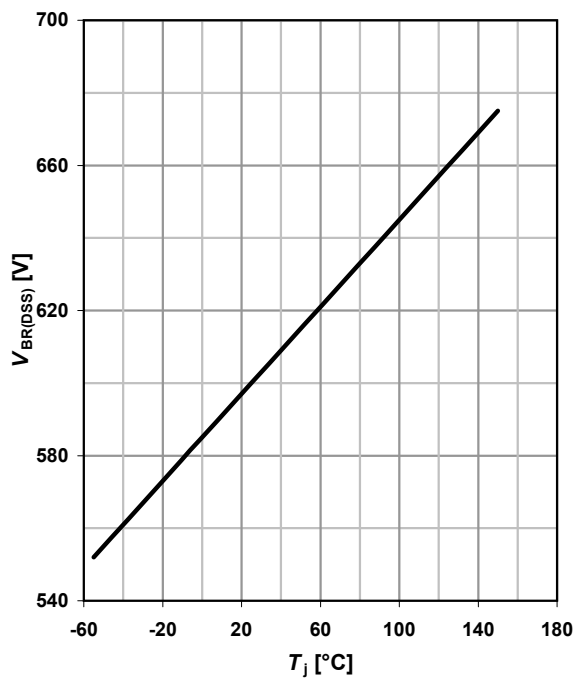
parameter: V_{GS}

6 Typ. drain-source on-state resistance
 $R_{DS(on)} = f(I_D)$; $T_j = 150 \text{ }^\circ\text{C}$

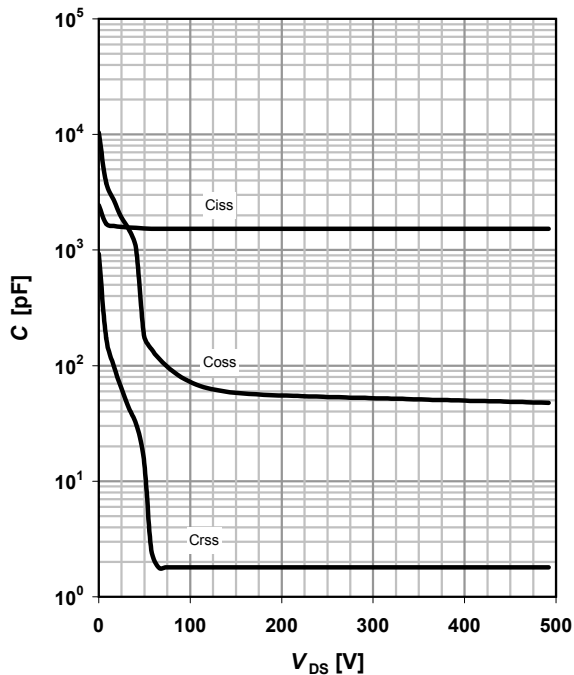
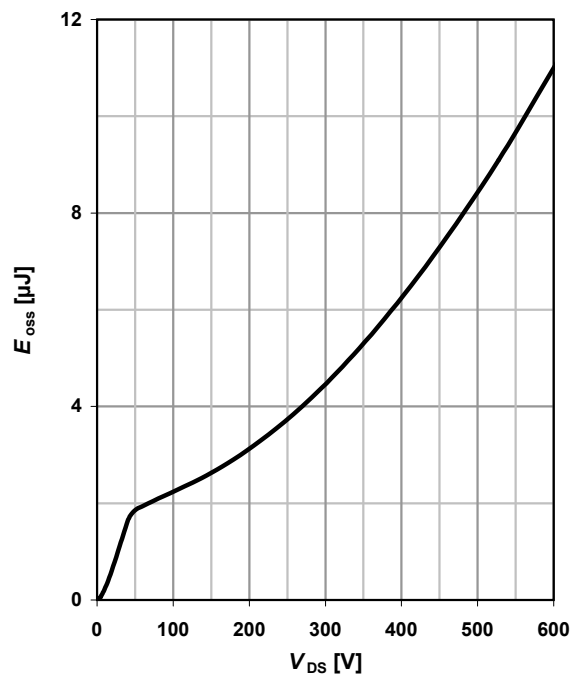
parameter: V_{GS}

7 Drain-source on-state resistance
 $R_{DS(on)} = f(T_j)$; $I_D = 9.9 \text{ A}$; $V_{GS} = 10 \text{ V}$

8 Typ. transfer characteristics
 $I_D = f(V_{GS})$; $|V_{DS}| > 2|I_D|R_{DS(on)max}$

parameter: T_j


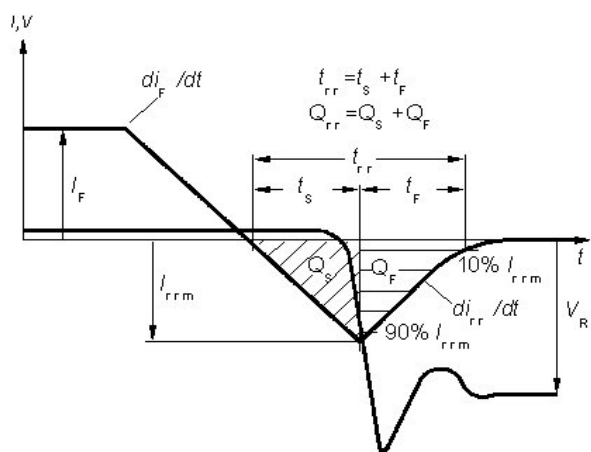
9 Typ. gate charge
 $V_{GS} = f(Q_{gate})$; $I_D = 9.9 \text{ A}$ pulsed

 parameter: V_{DD}

10 Forward characteristics of reverse diode
 $I_F = f(V_{SD})$

 parameter: T_j

11 Avalanche energy
 $E_{AS} = f(T_j)$; $I_D = 6.6 \text{ A}$; $V_{DD} = 50 \text{ V}$

12 Drain-source breakdown voltage
 $V_{BR(DSS)} = f(T_j)$; $I_D = 0.25 \text{ mA}$


13 Typ. capacitances
 $C = f(V_{DS})$; $V_{GS} = 0$ V; $f = 1$ MHz

14 Typ. Coss stored energy
 $E_{oss} = f(V_{DS})$


Definition of diode switching characteristics



Tentti 17.3.2014 RATKAISUT

Tehtävät 1-3: Katso kirja

Tehtävä 4

Datalehdet kuvat 4L ja 4R pätevät kolmelle moduulille. Kuvan 4L käyrä B6 pätee näistä tehtyyn kuusipulssisiihtaan. Vaaka-asteikolla on valmiiksi I_D eli tasavirta. Siten piirtämällä pystysuora viiva kohtaan 120 A ja käyrän B6 leikkauuspisteestä vaakasuora viiva oikeanpuoleiseen käyrästöön nähdään että sen ja 65°C kohtaan piirretyn suoran leikkauuspisteessä on

$$R_{th(c-a)} \approx 0,095 \frac{\text{K}}{\text{W}}$$

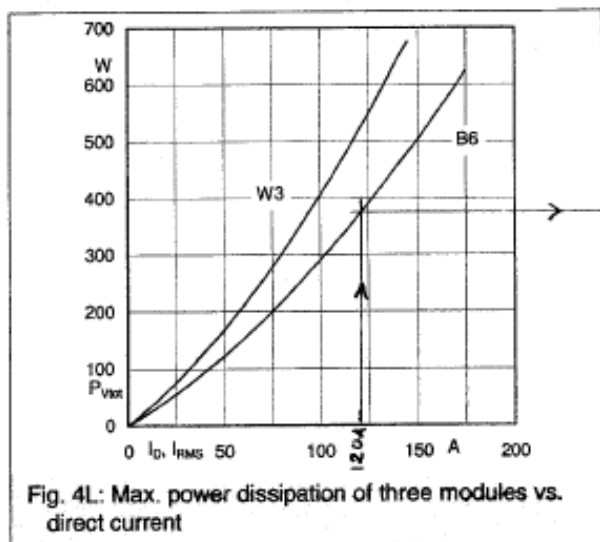


Fig. 4L: Max. power dissipation of three modules vs. direct current

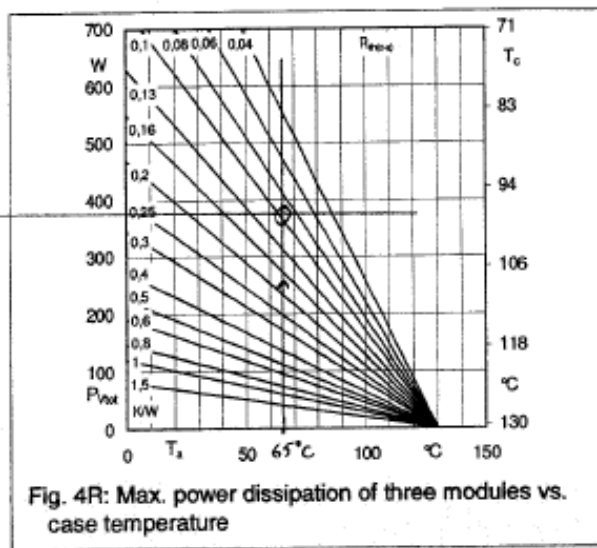


Fig. 4R: Max. power dissipation of three modules vs. case temperature

Datalehdet sivulla 1 annetaan $R_{th(c-s)} = 0,11 \frac{\text{K}}{\text{W}}$ per moduuli. Nyt kyseessä on kolme moduulia, joten

$$R_{th(s-a)} \approx 0,095 \frac{\text{K}}{\text{W}} - \frac{0,11 \frac{\text{K}}{\text{W}}}{3} \approx 0,058 \frac{\text{K}}{\text{W}}$$

Tehtävä 5Johdohäviö:

Kuvasta 5 saadaan $T=150^\circ\text{C}$ lampūtilassa 12A virallelle kun $V_{DS} = 10\text{V}$ tyypillinen arvo:

$$U_{DS} \approx 5,6\text{ V} \quad (\text{tosiin kuvan aikaan vaikea lukea tarkasti})$$

Voi myös lukea R_{DS} arvon kuvasta 6 $I=12\text{A}$ $U_{DS}=10\text{V}$ tapaukselle: $R_{DS} \approx 0,5\Omega$ joten $U_{DS} \approx 0,5 \cdot 12\text{A} = 6\text{V}$
 Lisäksi kuvassa 7 on annettu 98% raja R_{DS} vastukselle 9,9A virallelle eli ei kovin kaukana 12A:sta
 $R_{DS,98\%} \approx 0,54\Omega$ (tyypillinen arvo $R_{DS} \approx 0,45\Omega$)
 joten $U_{DS,98\%} = 6,5\text{V}$ (tyypillinen 5,4V)

Jos käytetään arvoa 5,6V, saadaan johtoajan energiahäviöksi

$$E_{HON} = 5,6\text{V} \cdot 12\text{A} \cdot 20\mu\text{s} \approx 1,3\text{ mJ}$$

Kytkentähäviöstä valmistaja ei anna tietoja.
 Arviodaan ne nousu- ja lashuajonien avulla olettaen jännitteen olevan vakio ja virran muuttuvan lineaarisesti.
 Sitien häviöenergiat voidaan laskeaa kolmion pinta-alalla.

Pääällekytkentähäviöt: $t_r \approx 5\text{ ns}$ (tyypillisesti)

$$E_{HTON} \approx \frac{t_r \cdot U_{DS,TON} \cdot I_D}{2} = \frac{5\text{ ns} \cdot 360\text{ V} \cdot 12\text{ A}}{2} \approx 11\mu\text{J}$$

Katkaisuhäviöt: $t_f = 5\text{ ns}$ (tyypillisesti)

$$E_{HTOFF} \approx \frac{t_f \cdot U_{DS,TOFF} \cdot I_D}{2} = \frac{5\text{ ns} \cdot 500\text{ V} \cdot 12\text{ A}}{2} \approx 15\mu\text{J}$$

Tehtävä 5 jatko

Kuten edellä olevasta näkyy, virran lyhentämiseen ja katkaisuun liittyvät energiat ovat hyvin pieniä johtuen komponentin suuresta nopeudesta.

Tämän johdosta on hyvä farkistaaka myös transistorin kapasitanssien latautumisesta ja purkautumisesta aiheutuvat häviöt. Energia kapasitanssissa $C_{oss} = C_{DS} + C_{DG}$ on annettu kuvassa 14.

$$E_{oss_{TON}} \approx 5,5 \mu J \text{ kun } V_{DS} = 360V \text{ (pääällekyhentä)}$$

$$E_{oss_{TOFF}} \approx 8,4 \mu J \text{ kun } V_{DS} = 500V \text{ (katkaisu)}$$

Siten kokonaishäviöt ovat $40\mu s$ jakson aikana

$$\begin{aligned} E_H &= E_{HON} + E_{HTON} + E_{HTOFF} + E_{oss_{TON}} + E_{oss_{TOFF}} \\ &\approx 1300 \mu J + 11 \mu J + 15 \mu J + 5,5 \mu J + 8,4 \mu J \\ &\approx 1340 \mu J \end{aligned}$$

Ja edelleen keskimääräinen häviöteho

$$P_H = \frac{E_H}{T} = \frac{1340 \mu J}{40 \mu s} \approx 34 W$$

Koska toimintataajinus on huomattavasti isompi kuin 1 kHz voidaan mitoitus tehdä keskimääräisen häviötehon perusteella

$$T_J \geq (R_{thJC} + R_{thCA}) \cdot P_H + T_A$$

joten

$$R_{thCA} \leq \frac{T_J - T_A}{P_H} - R_{thJC}$$

$$\approx \frac{150^\circ C - 45^\circ C}{34 W} - 0,9 \frac{K}{W} \approx 2,2 \frac{K}{W}$$

Johon siis sisältyy myös kotelon ja jäähdytyselementin välinen lämpövastus, jota valmistaja ei ilmoita datalehdessä.